

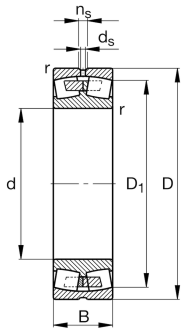
**FAG****23230-E1A-XL-M-H40AC-C3**

Rodamiento oscilante de rodillos

Rodamiento oscilante de rodillos 232...-E1A-XL-M-H40AC, simétrico dos bordes exteriores

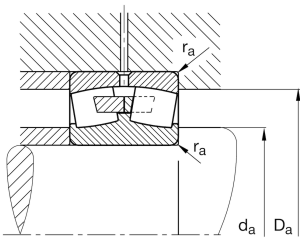
**X-life**

## Información técnica



## Variante de su producto actual

|                             |              |  |
|-----------------------------|--------------|--|
| Ejecución                   | E1A          | Sin borde central  |
| Tipo de agujero             | Z            | Cilíndrico   |
| Jaula                       | M            | Jaula de latón   |
| Juego radial del rodamiento | C3 (Group 3) | Internal clearance larger than CN                        |
| Función de relubricación    | H40AC        | 6 agujeros de lubricación y ranura en el anillo interior |



## Medidas principales y datos de rendimiento

|             |             |                                     |
|-------------|-------------|-------------------------------------|
| d           | 150 mm      | Diámetro del agujero                |
| D           | 270 mm      | Diámetro exterior                   |
| B           | 96 mm       | Anchura                             |
| $C_r$       | 1.280.000 N | Capacidad de carga dinámica, radial |
| $C_{0r}$    | 1.660.000 N | Capacidad de carga estática, radial |
| $C_{ur}$    | 133.000 N   | Límite de carga por fatiga, radial  |
| $n_G$       | 2.400 1/min | Velocidad límite de rotación        |
| $n_{gr}$    | 1.400 1/min | Velocidad de referencia             |
| $\approx m$ | 23,7 kg     | Peso                                |



### Medidas de montaje

|              |        |   |
|--------------|--------|---|
| $d_{a \min}$ | 164 mm | Diámetro mínimo resalte del eje             |
| $D_{a \max}$ | 256 mm | Diámetro máximo del resalte del alojamiento |
| $r_{a \max}$ | 2,5 mm | Radio máximo de la ranura                   |

### Medidas

|            |          |  |
|------------|----------|--|
| $r_{\min}$ | 3 mm     | Medidas mínimas del chaflán              |
| $D_1$      | 232,6 mm | Diámetro del agujero del anillo exterior |
| $d_s$      | 6,3 mm   | Diámetro del agujero de engrase          |
| $n_s$      | 12,2 mm  | Anchura de la ranura de lubricación      |

### Rango de temperatura

|            |        |                                    |
|------------|--------|------------------------------------|
| $T_{\min}$ | -30 °C | Temperatura mín. de funcionamiento |
| $T_{\max}$ | 200 °C | Temperatura máx. de funcionamiento |

### Factores de cálculo

|       |      |   |
|-------|------|---|
| $e$   | 0,33 | Valor límite de $F_a/F_r$ para la aplicabilidad de dif. Valores de los factores X e Y |
| $Y_1$ | 2,02 | Factor de carga axial dinámica  |
| $Y_2$ | 3    | Factor de carga axial dinámica  |
| $Y_0$ | 1,97 | Factor de carga axial estática  |



### Características

---

-  Carga radial
-  Carga axial en un sentido
-  Carga axial en ambos sentidos
-  Lubricación con grasa
-  Lubricación con aceite
-  No obturado
-  Errores de alineación estáticos
-  Errores de alineación dinámicos